

УДК 577.2:616

ПРЯМА ТА НЕПРЯМА ДІЯ ЛІПОСОМАЛЬНОЇ ФОРМИ miR-101 НА КЛІТИНИ В ЕКСПЕРИМЕНТАЛЬНІЙ МОДЕЛІ ХВОРОБИ АЛЬЦГЕЙМЕРА

В.В. СОКОЛІК¹, О.Г. БЕРЧЕНКО¹, О.К. КОЛЯДА², С.М. ШУЛЬГА³

¹ ДУ «Інститут неврології, психіатрії та наркології НАМН України», Харків, Україна, вул. Академіка Павлова, 46, 61068

² ДУ «Інститут геронтології ім. Д.Ф.Чеботарьова НАМН України», Київ, Україна, вул. Вишгородська, 67, 04114

³ ДУ «Інститут харчової біотехнології і геноміки НАН України», Київ, Україна, вул. Осиповського, 2А, 04123

E-mail: Shulga5@i.ua, v.sokolik67@gmail.com, berchenko.olga@ukr.net, alex.genetic@gmail.com

В даний час хвороби мозку є невирішеною проблемою XXI століття. Хвороба Альцгеймера була вперше виявлена 100 років тому і за цей час жоден пацієнт з таким діагнозом не вилікувався. Тому пошук нових стратегій лікування з використанням регуляторних агентів, таких, як специфічні мікроРНК, є актуальним. Метою роботи було визначити вплив ліпосомальної форми miR-101 на рівень β-амілоїдного пептиду 42 (Aβ42) та систему цитокінів за клітинної моделі хвороби Альцгеймера. Робота включала ПЛР, ІФА та флуоресцентні методи. За допомогою FAM було виявлено, що ліпосомальна форма miR-101 накопичується в мононуклеарних клітинах крові, попередньо оброблених агрегатами Aβ40, і функціонує впродовж 2–3 год, а не миттєво руйнується нуклеазами. Екзогенна miR-101 не впливає на транскрипцію гена AβPP, але зменшує утворення ендогенного Aβ42. Непрямий протизапальний ефект ліпосомальної форми miR-101 був встановлений після 12 годин інкубації з мононуклеарними клітинами: зниження внутрішньоклітинного рівня TNFα та IL-10. Однак miR-101 не впливала на експресію генів TNFα і IL-6 та затримувала пік активації експресії гену IL-10 на 9 годин. Таким чином, ліпосомальна форма miR-101 показала прямий антиамілоїдогенний ефект та непрямий протизапальний ефект за клітинної моделі хвороби Альцгеймера.

Ключові слова: miR-101, хвороба Альцгеймера, ліпосоми, β-амілоїдний пептид, цитокіни, мононуклеарні клітини крові.

Вступ. Надмірне накопичення β-амілоїдного пептиду (Aβ) з подальшою його олігомеризацією викликає цитотоксичність нейронів і є ключовим патогенним фактором за хвороби

Альцгеймера (ХА). Він утворюється з протеїну попередника β-амілоїдного пептиду (AβPP) під час амілоїдогенного процесінгу специфічними секретазами (Frozza, 2018). Рівні AβPP можуть регулюватися на геномному, транскрипційному або трансляційному рівнях. На геномному рівні у пацієнтів з синдромом Дауна (трисомія 21) є три копії гена *AβPP*, а симптоми ХА розвиваються на ранніх етапах життя (Rumble, 1989). Подібним чином, дуплікація локусу AβPP, за відсутності повної трисомії 21, також призводить до раннього початку ХА (Sleegers, 2006). Порушення регуляції транскрипції *AβPP* також може збільшити ризик розвитку ХА. Генетичні варіації промотору *AβPP* збільшують транскрипцію AβPP у 2–3 рази та ризик розвитку ХА (Brouwers, 2006). Фактори росту контролюють період напіврозпаду матричної рибонуклеїнової кислоти AβPP (mRNA^{AβPP}) (Rajagopalan, 2000). Ці ефекти факторів росту залежать від послідовності 29 п.н. в AβPP 3'UTR (Rajagopalan, 1998). Трансляція AβPP також регулюється; наприклад, інтерлейкіном-1 (IL-1) (Rogers, 1999). IL-1 є прозапальним цитокіном, а генетичні варіації його гену пов'язані з підвищеним ризиком розвитку ХА (Griffin, 2000; Bertram, 2007). У сукупності ці результати дають вагомий докази того, що підвищення рівня AβPP збільшує ризик розвитку хвороби Альцгеймера.

МікроРНК (miRNA) – це невеликі некодуючі РНК, які контролюють експресію генів на рівні трансляції. Комплементарне зв'язування між miRNA та відповідними mRNA призводить до репресії експресії генів-мішеней шляхом транс-

© В.В. СОКОЛІК, О.Г. БЕРЧЕНКО, О.К. КОЛЯДА,
С.М. ШУЛЬГА, 2021

ляційного інгібування та деградації mRNA (Pillai, 2005). Близько тисячі генів miRNA кодується в геномі людини, і останні дані свідчать про те, що деякі miRNA диференційовано експресуються у пацієнтів з ХА порівняно з віковим контролем (Lukiw, 2007). Ці відмінності в експресії miRNA можуть відігравати важливу роль у патогенезі ХА (Hébert, 2008).

Показано, що специфічні мікроРНК: miR-9, miR-29, miR-29a / b-1, miR-124, miR-101, miR-107, miR-298 і miR-328 демонструють збільшення продукування Аβ у пацієнтів або моделей тварин з ХА шляхом регулювання експресії β-секретази (BACE1) та АβPP у центральній нервовій системі (ЦНС) (Hébert, 2008; Hébert, 2009; Boissonneault, 2009; Long, 2011). Клінічні дослідження підтвердили, що рівень miR-29a/101 у периферичній крові пацієнтів з ХА суттєво знижений (Ma, 2016). Було також показано, що деякі мікроРНК беруть участь у фізіологічній регуляції рівня АβPP. Так надмірна експресія miR-106a та miR-520c обумовлює значне зниження рівня АβPP у клітинах НЕК-293 (Patel, 2008). Зниження експресії miR-16 потенційно спричинює накопичення АβPP в ембріонах мишей P8 (SAMP8) з прискореним старінням з ХА; тоді як надмірна експресія miR-16, навпаки, викликає інгібування експресії *AβPP in vitro* та *in vivo* (Hébert, 2009). Отже, надмірна експресія цих miRNA може відігравати вирішальну роль у генерації Аβ. Надмірна експресія miR-29 у людей та трансгенних мишей з ХА викликає зниження ендogenous BACE1 та збільшення продукування Аβ (Delay, 2012). Тоді як знижену експресію miR-17, miR-101 та miR-16 супроводжує високий рівень АβPP.

Встановлено, що зміна синаптичної пластичності є однією з важливих особливостей для пацієнтів з ХА. Відновлення когнітивних функцій може бути досягнуто шляхом відновлення регуляторних ефектів miRNA, що діють на синаптичному рівні. Надмірна експресія miR-188-5p відновлює зменшення дендритної щільності в первинних культурах нейронів гіпокампа щурів з експозицією Аβ. Вважають, що довгострокове потенціювання (LTP) є синаптичним механізмом, що лежить в основі зберігання довгострокової пам'яті в мозку. Підвищення рівня miR-188-5p може покращити поведінкові результати та посилити синаптичну активність, а також

відновити когнітивні функції в моделях мишей з ХА, таких як миші 5XFAD (Lee, 2016; Zhang, 2014). Однак деякі мікроРНК аномально підвищені в моделях ХА і можуть мати негативний вплив на нейрони. У дослідженні пацієнтів з ХА було виявлено, що експресія miR-34a/p73 помітно підвищена в гіпокампі, який бере участь у модуляції синаптичної активності, зменшуючи експресію синаптоагміну-1 (Agostini, 2011). Надмірна експресія miR-30b у тканинах гіпокампа може загрожувати синаптичній структурі і функції нейронів гіпокампа та спричинити когнітивні порушення у нормальних тварин дикого типу. Підвищена регуляція miR-181 та Sirtuin 1 (SIRT1) та зниження рівня протеїну фактора транскрипції AP-1 (c-Fos) спостерігалися у дорсальному та вентральному відділах гіпокампу мишей 3xTg-AD. SIRT1 і AP-1 субодиниці транскрипційного фактора c-Fos беруть участь у консолідації пам'яті як потенційні цілі miR-181 (Rodriguez-Ortiz, 2014). Нейротрофічний фактор мозку (*brain derived neurotrophic factor*, BDNF) відіграє ключову роль у синаптичній пластичності та пізнанні. Попередні дослідження встановили, що зниження BDNF у префронтальній корі та гіпокампі пов'язане з когнітивними дефіцитами у тваринних моделях ХА (Arancibia, 2011; Ramser, 2013). Недавнє дослідження показало, що miR-10a є негативним регулятором у реконструкції синапсів в результаті зменшення сигналів BDNF-TrkB у щурів з моделлю ХА.

Нейрозапалення (НЗ) в тканинах мозку за ХА головним чином опосередковується мікроглією та астроцитами. Це підтверджується підвищеним рівнем прозапальних цитокінів, зокрема фактором некрозу пухлини α (TNFα) та інтерлейкіну-6 (IL-6) у сироватці та тканині мозку пацієнтів з ХА, порівняно до контролю (Fillit, 1991; Strauss, 1992). Більше того, посилена регуляція АβPP також пов'язана з нейрозапаленням. На перебіг запального процесу впливає змінена експресією miRNA в мозку за ХА. MiR-155 — одна з найбільш добре вивчених мікроРНК за нейрозапальних подій, пов'язаних з ХА. У тваринній моделі 3xTg AD спостерігається високий рівень експресії цієї мікроРНК. Підвищена регуляція miR-155 одночасно супроводжується посиленою активацією мікроглії та астроцитів, що запускає продукцію

медіаторів запалення. Крім того, *miR-155* може сприяти розвитку ХА шляхом активації різних функцій Т-клітин під час запалення (Song, 2015). Клінічні дані людського мозку з амілоїдозом свідчать про те, що рівні *miR-125b* та *miR-146* підвищені, щоб посилити нейрозапалення та зменшити вміст фактора комплементу Н (CFH), що пов'язано з вивільненням нейронами *miR-146a* та *miR-155* та поширенням запалення в мозку (Lukiw, 2012; Redis, 2012).

Вважається, що терапія мікроРНК – це майбутнє персоналізованої медицини, і вона показала перспективу в ранніх клінічних випробуваннях. Однак у системі доставки *miRNA* до цитоплазми цільових клітин для виконання їх функцій існує багато фізіологічних бар'єрів (зокрема, гематоенцефалічний бар'єр для ЦНС). Для подолання цих бар'єрів були розроблені системи доставки *miRNA*. Серед них наночастинки на основі ліпідів (ліпосоми) мають великий потенціал завдяки своїй біосумісності та низькій токсичності порівняно з неорганічними наночастинками та вірусними системами (Lin, 2013). Ліпосоми (L) відповідають сучасній системі контролю у цільовій доставці ліків. Ліпосоми були однією з перших систем випуску нанорозмірних лікарських засобів, а також представляють перше покоління носіїв ліків на основі ліпідів (Yingchoncharoen, 2016). Ліпідний бішар ліпосом забезпечує значний бар'єр проникності, який визначає внутрішній компартмент і здатний до захисту внутрішнього вмісту. Таким чином, ліки, інкапсульовані в цьому ліпідному двошарі, захищені від позаліпосомних реакцій, які можуть змінити ефективність препарату, такі як ензимна деградація або модифікація препарату (Fenske, 2008).

Метою цього дослідження було визначити вплив ліпосомальної форми *miR-101* на рівень β -амілоїдного пептиду та активацію системи цитокінів у клітинній моделі хвороби Альцгеймера.

Матеріали і методи. Дизайн дослідження дії ліпосомальної форми *miR-101* на клітинній моделі хвороби Альцгеймера. Дослідження *in vitro* за умов впливу агрегатів β -амілоїдного пептиду ($A\beta_{40}$) та подальшої терапії ліпосомальними формами мікроРНК (*miR-101* та її антисенсовий аналог *miR-101_as*) було виконане на суспензії мононуклеарних клітин людини ($n = 3$ зразки), отриманих *ex tempore*. Комісія з етики Інституту неврології, психіатрії та наркології у

Харкові, Україна, схвалила дослідження (Протокол № 12-а, 12 грудня 2019 р.). Під час збору зразків крові була отримана письмова інформована згода волонтерів. Мононуклеари з кожного зразка венозної крові чоловіків-добровольців у віці 25–38 років виділяли за допомогою фікол-урографічного градієнту щільності, тричі промивали фізіологічним розчином (0,9 % NaCl) і ресуспендували в середовищі RPMI до концентрації $11\text{--}13 \times 10^9$ на літр.

Beta Amyloid Peptide (1–40) (Human), Abcam, UK розчиняли у бідистиляті до концентрації 1,5 ммоль в літрі та агрегували 24 години при 37 °С. Великі грубі конгломерати $A\beta_{40}$ диспергували за допомогою ультразвуку і стерилізували безпосередньо перед додаванням до суспензії мононуклеарів. Суспензію агрегатів $A\beta_{40}$ додавали до інкубаційного середовища з розрахунку 1 : 17.

Для дослідження ефекту *miR-101* (*miR-101-3p*, ООО «НПФ «Синтол», РФ) її ліпосомну форму, а також окремо порожні ліпосоми та ліпосоми з антисмисловою *miR-101* (*miR-101_as*, ООО «НПФ «Синтол», РФ), одержували методом ліпідних плівок. Діаметр ліпосом калібрували в екструдері «Liposo Fast-Basic LF-1» (Avestin, Канада) за допомогою полікарбонатних мембран з отворами 100 нм (0,1 мкм). Концентрація мікроРНК у суспензії ліпосом становила $12,5 \times 10^{18}$ молекул на літр. Усі задіяні ліпосомальні препарати додавали до інкубаційного середовища у співвідношенні 1 : 50. Знежирений лецитин олії соняшника фірми «BIOLER» (Дніпро, Україна). Його склад наведено в табл. 1. Концентрація *miR-101* у суспензії ліпосом становила $12,5 \times 10^{18}$ молекул на літр. У табл. 2 наведені нуклеотидні послідовності *miR-101* та *miR-101_as*.

У дослідженні було виокремлено по 4 експериментальні групи з кожного зразка людських мононуклеарних клітин: контроль: 0,9 % NaCl + 0,9 % NaCl, група L(0): $A\beta_{40}$ + пусті ліпосоми, група L(*miR-101_as*): $A\beta_{40}$ + ліпосоми з антисмисловою *miR-101*, група L(*miR-101*): $A\beta_{40}$ + ліпосоми з *miR-101*, які інкубували за 37 °С з відповідними добавками впродовж 19 год.

До всіх груп, окрім контролю, додавали агрегати β -амілоїдного пептида 40 для створення експериментальної моделі хвороби Альцгеймера на клітинах. Після однієї години інкубації додавали відповідні ліпосомні препарати у всі

групи, крім контролю. До контролю в обох випадках додавали еквівалентний об'єм фізіологічного розчину. З кожної групи відбирали аліквоти ($V = 300$ мкл) для вимірювання експресії і синтезу $A\beta_{42}$, $TNF\alpha$, $IL-6$, $IL-10$ у динаміці часу: фон, 0-а, 1-а, 3-а, 6-а, 12-а і 18-а години інкубації методами ПЛР та ІФА.

Визначення концентрації β -амілоїдного пептиду 42 та цитокінів у мононуклеарах імуноферментним аналізом. У дослідженні імуноферментний аналіз концентрації $A\beta_{42}$ здійснювали відповідно до інструкції набору реагентів Human $A\beta$ 1-42 (Amyloid Beta 1-42) ELISA Kit Elabscience Biotechnology Inc., США. Рівень цитокінів методом ІФА ($TNF\alpha$, $IL-6$, $IL-10$) встановлювали за допомогою відповідних наборів реагентів альфа-ФНО-ІФА-БЕСТ, Інтер-

лейкін-6-ІФА-БЕСТ та Інтерлейкін-10-ІФА-БЕСТ, РФ. Поглинання зразків зчитували за допомогою мікропланшетного аналізатора GBG Stat FAX 2100 (США) за 450 нм з корекцією довжини хвилі у 630 нм. Дані ІФА виражали в пікограмах на мілілітр (пг/мл).

Екстракція РНК та ПЛР у режимі реально-го часу. Методом полімеразної ланцюгової реакції (ПЛР) за допомогою відповідних праймерів у мононуклеарах визначали відносну експресію на рівні матричної рибонуклеїнової кислоти (mRNA) для генів $A\beta PP$, $TNF\alpha$, $IL-6$ і $IL-10$. Загальну РНК з клітин виділяли за допомогою набору «Рибо-Сорб» «АмплиСенс» (РФ). Аналіз експресії генів проводили методом ПЛР у реальному часі. Як матрицю використовували комплементарну дезоксирибонуклеїнову кислоту (кДНК), отриману в ході реакції зворотної транскрипції з використанням набору «АмплиСенс» (РФ). Для ампліфікації використовували Rotor-Gene Q (QIAGEN) (Німеччина) і специфічні праймери виробництва Синтол (РФ) (табл. 3).

Реакції ампліфікації проводили у трьох повторностях для кожного гену за наступних умов: 60 с при 95 °С, 40 циклів: 30 с 94 °С, 30 с 60 °С, 30 с 72 °С з використанням SYBR Green mix («Синтол», РФ). До реакційних сумішей додавали наступні концентрації $MgCl_2$ («Синтол», РФ): 1 ммоль для ампліфікації гену $A\beta PP$, 2 ммоль для ампліфікації генів $IL-6$, $IL-10$ та $ACTB$, 4 ммоль для ампліфікації гену $TNF\alpha$. Рівень експресії визначали методом дельта Ст. Отримані дані нормували за експресією референтного гена $ACTB$ (для β -актину) у вигляді співвідношення кількості копій кДНК визначаємого чинника до кількості копій кДНК

Таблиця 1. Знежирені компоненти лецитину олії соняшника

Назва фосфоліпідів	Вміст, %
Фосфатидилхолін	46,84
Лізофосфатидилхолін	4,69
Фосфатидилінозитол	27,74
Фосфатидилетаноламін	12,92
Фосфатидна кислота	6,83
Інші фосфоліпіди	0,98

Таблиця 2. Нуклеотидна послідовність miRNA

Ім'я	Нуклеотидна послідовність
miR-101	5'UACAGUACUGUGAUAAACUGAA3'
miR-101_as	5'UUCAGUUAUCACAGUACUGUA3'

Таблиця 3. Послідовності олігонуклеотидних праймерів

Набір праймерів	Номер за каталогом	Прямий праймер	Зворотний праймер
$A\beta PP$	NM_000484	3'-AACCAGTGACCATCCAGAAC-5'	3'-ACTTGTTCAGGAACG AGAAGG-5'
$TNF\alpha$	NM_000594.2	3'-CCCAGGGACCTCTCTAATC-5'	3'-ATGGGCTACAGGCTTGTCACT-5'
$IL-6$	NM_000600	3'-GGTCTTTGCTGCTTTCACAC-5'	3'-GGTACATCCTCGACGGCATC-5'
$IL-10$	NM_007527.3	3'-CATCGATTTCTCCCTGTGAA-5'	3'-TCTTGGAGCTTATTAAGGCATTC-5'
$ACTB$	NM_001101.3	3'-GGATGCAGAAGGAGATCACTG-5'	3'-CGATCCACACGGAGTACTTG-5'

АСТВ і виражали в умовних одиницях експресії (CUE) або у відсотках (%) від показників інкубації з 0,9 % NaCl (прийнятими за 100 %) у кожен відтинок часу.

Флуоресцентне дослідження. Для дослідження динаміки поглинання та релізу ліпосом з *miR-101* мононуклеарами людини *in vitro* було створено ліпосомальний препарат *miR-101* з флуоресцентною міткою – флуоресцином (FAM). Зразки ліпосом з *miR-101-FAM* були дослідженні на флуориметрі Cary Eclipse Fluorescence Spectrophotometer (Німеччина) з побудовою графіків імисії і визначенням піків флуоресценції (рис. 1).

На графіку імисії флуоресценції зразків ліпосомальних препаратів з *miR-101-FAM* з'ясували, що пік флуоресценції припадає на довжину хвилі $\lambda = 519$ нм, що узгоджується з відомим інтервалом флуоресценції FAM $\lambda = 518-520$ нм та свідчить щодо придатності створеного препарату для подальших досліджень.

Ліпосоми з *miR-101-FAM*, як і в попередній експериментальній постановці, додавали до суспензії мононуклеарів людини ($n = 3$ зразки) у RPMI середовищі через 1 год попередньої інкубації з агрегатами А β 40 (клітинна модель ХА). Аліквоти для флуоресцентного вимірювання відбирали щогодини впродовж 5 год (0, 1, 2, 3, 4 і 5 год). Потім інкубаційне середовище замінювали на вільне від ліпосомальної форми *miR-101-FAM* з попередньою триразовою відмивкою клітин фізіологічним розчином та продовжували інкубацію з погодинним відбором аліквот для флуоресцентної детекції ще три години (6, 7 і 8 год). Вимірювання інтенсивності флуоресценції проводили окремо у пробах мононуклеарів та інкубаційного середовища на мікропланшетному скануючому флуориметрі Біо-Тек FL600 з програмним забезпеченням КС4 («Біо-Тек», США) при $\lambda_{Ex} = 485BP20$, $\lambda_{Em} = 530BP25$ нм у 96 лункових планшетах Imaging Plate CG 96 well (GE Healthcare). Для цього відібрані аліквоти попередньо розділяли центрифугуванням на осад клітин і середовище. Клітини тричі відмивали фізіологічним розчином.

Статистичний аналіз. Дані представлені як середнє значення \pm стандартне відхилення (SD). Для порівняння непараметричних даних за-

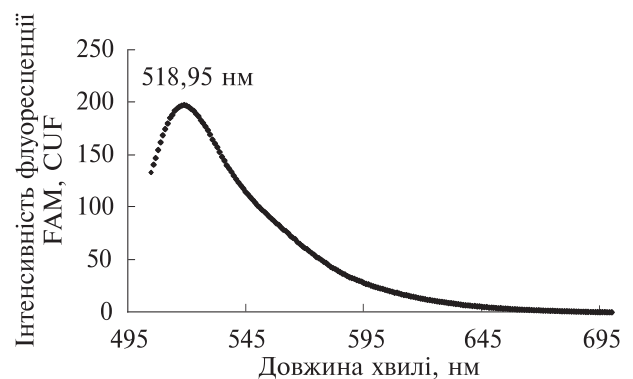


Рис. 1. Спектр імисії флуоресценції флуоресцеїну ліпосом з *miR-101-FAM*

стосовували U-тест Манна-Уїтні. Значення $P < 0,05$ вважали значимим.

Результати. Динаміка накопичення та вивільнення ліпосомальної форми *miR-101-FAM* під час інкубації мононуклеарних клітин крові людини з моделлю ХА. Дослідження *in vitro* динаміки поглинання та релізу мононуклеарами людини ліпосом з *miR-101*, яка мічена флуоресцентною міткою – флуоресцином (FAM), показало наявність плато-максимуму на кривій накопичення ліпосомальної форми *miR-101-FAM* на 1–2 год інкубації клітин за умов стаціонарно високої позаклітинної концентрації сигналу в інкубаційному середовищі (рис. 2, а, б).

Виявлено динаміку поступового релізу флуоресцентного сигналу з клітин за умов заміни інкубаційного середовища на вільне від ліпосомальної форми *miR-101-FAM* вже с першої години інкубації (рис. 2, в).

Отримані дані свідчать, що насичуваність мононуклеарів *miR-101-FAM* у ліпосомах за надлишку останньої в інкубаційному середовищі досягається досить швидко: в перші 1–2 год імисія флуоресцентного сигналу зростала на 51–57 % і потім починала падати до вихідних значень. Тоді як зниження флуоресцентного сигналу після заміни інкубаційного середовища мононуклеарів на вільне від *miR-101-FAM* у ліпосомах відбувається повільніше: лише на 2–3 год (відповідно 7-а і 8-а година на рис. 2, в) імисія флуоресцентного сигналу вірогідно знижується на 45–53 %. Тобто, завдяки ліпосомальній формі *miR-101-FAM* здатна активно і швидко накопичуватись у клітинах та

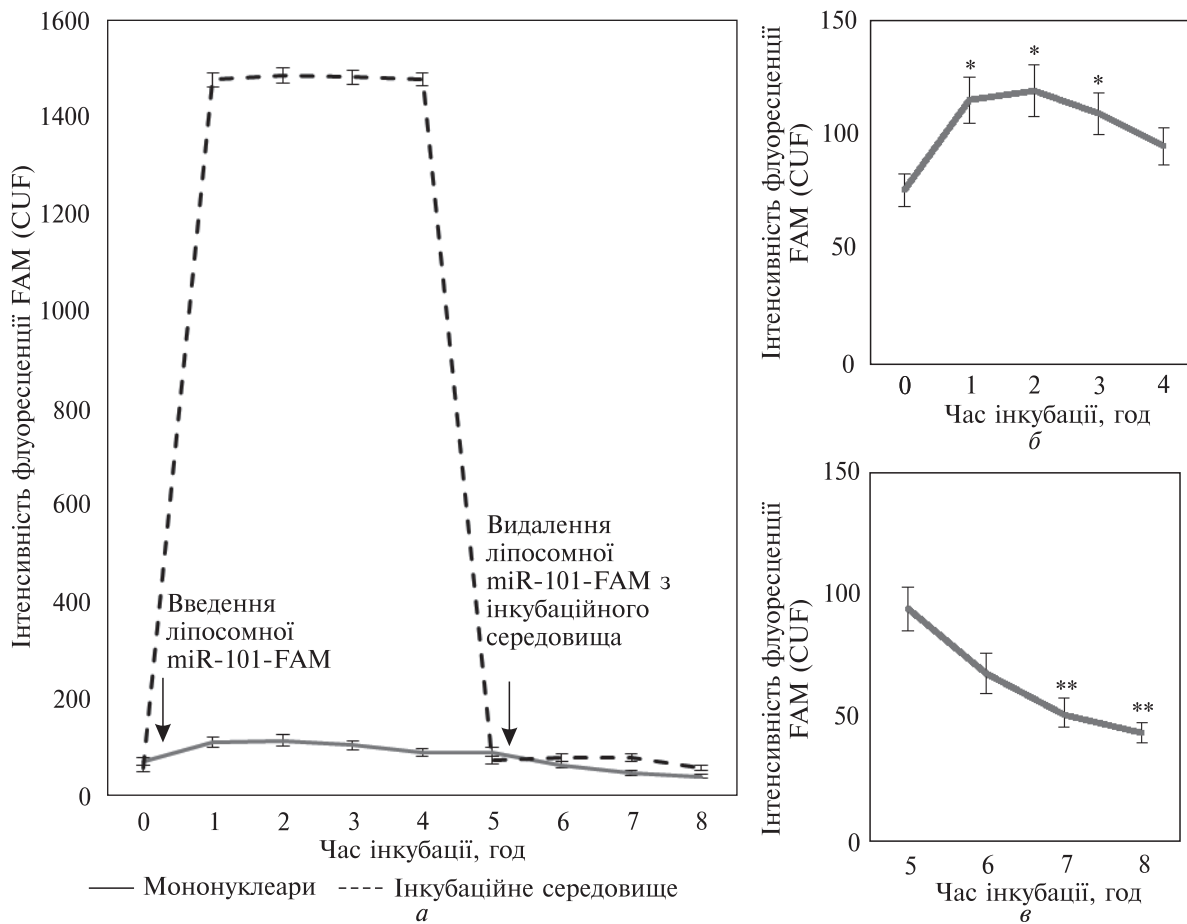


Рис. 2. Динаміка флуоресцентного сигналу FAM у складі ліпосом з miR-101 під час інкубації суспензії мононуклеарів (а); поглинання та накопичення ліпосомального miR-101-FAM мононуклеарами з середовища інкубації (б); та вивільнення ліпосомного miR-101-FAM мононуклеарами до інкубаційного середовища (в). CUF – умовні одиниці флуоресценції. Дані подаються як середнє значення \pm SD ($n = 3$). * $p < 0,05$ порівняно з до введення ліпосомального miR-101-FAM; ** $p < 0,05$ у порівнянні з показником перед заміною інкубаційного середовища на вільне від міченої мікроРНК

виконувати свою терапевтичну дію щонайменше декілька годин, а не руйнуватися миттєво нуклеазами.

Антиамілоїдогенний ефект ліпосомальної форми miR-101 в моделі хвороби Альцгеймера. Вивчення динаміки експресії гену *AβPP* у мононуклеарах *in vitro* за умов впливу агрегатів β-амілоїдного пептиду 40 (Aβ40) та подальшої терапії ліпосомальними формами мікроРНК (miR-101 та її антисенсовий аналог miR-101_as) показало дрейф кривої експресії гену *AβPP* навіть без специфічного впливу, тобто в умовах мікродобавок фізіологічного розчину. Проте, на рис. 3, а, б видно вірогідну відмінність цьо-

го показника лише між 0-ю, 3-ю та 18-ю год інкубації. Тому доцільно було виразити дані у відсотках від показників інкубації з 0,9 % NaCl (прийнятими за 100 %) кожного проміжку часу (рис. 3, в). Специфічну дію miR-101 на експресію гену *AβPP* у мононуклеарах не було виявлено (рис. 3, в): динаміка кривої для L(miR-101) повторює динаміку кривих для L(0) – порожній ліпосоми та L(miR-101_as) – антисенсова miR-101 в ліпосомах майже у кожній точці. Це свідчить про відсутність безпосереднього впливу miR-101 на експресію гену *AβPP* на стадії транскрипції матричних РНК^{*AβPP*}. Проте це не скасовує спроможність мікроРНК фор-

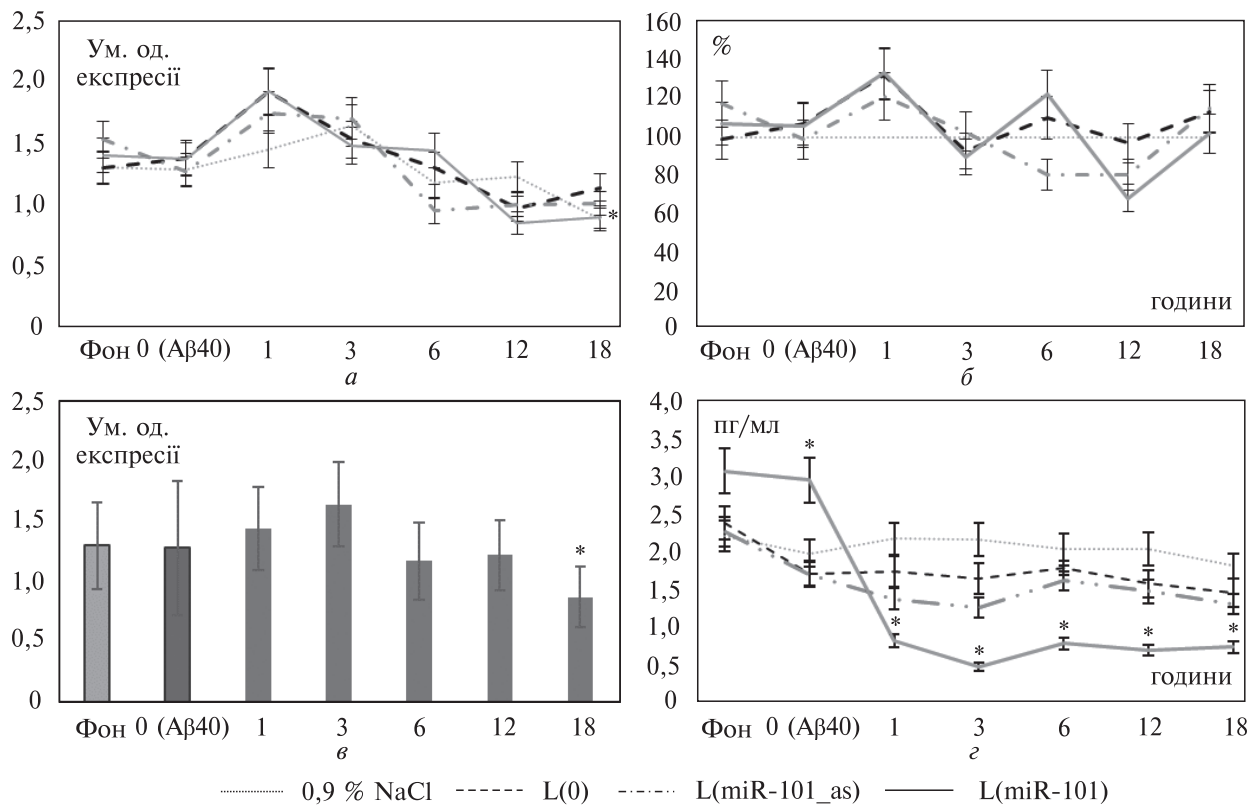


Рис. 3. Динаміка експресії гену $A\beta PP$ у мононуклеарах за умов впливу агрегатів $A\beta_{40}$ та терапії ліпосомальними формами *miRNA*: L(0) – порожні ліпосоми, L(miR-101) – ліпосоми з *miR-101* та L(miR-101_as) – ліпосоми з антисенсовим аналогом *miR-101*. Контроль – 0,9 % NaCl. (а) в умовних одиницях експресії; (б) у відсотках від показників інкубації з 0,9 % NaCl (прийнятим за 100 %) у кожному часовому інтервалі; (в) динаміка експресії $A\beta PP$ у мононуклеарах під впливом фізіологічного розчину; (г) динаміка концентрації ендogenous $A\beta_{42}$ у мононуклеарах під тими самими впливами. Дані подаються як середнє значення \pm SD ($n = 3$). * $p < 0,05$ у порівнянні з показниками для L(0); L(miR-101_as) або Контроль через відповідні проміжки часу; ** $p < 0,05$ порівняно з 0-ою або 3-ою год інкубації

мувати комплекс з мРНК, дестабілізація якого призводить до руйнації останньої, і пригнічення синтезу протеїнів на стадії трансляції [34].

Визначення динаміки концентрації ендogenous β -амілоїдного пептиду 42 у мононуклеарній суспензії *in vitro* за умов впливу агрегатів $A\beta_{40}$ та подальшої терапії ліпосомальними формами мікроРНК (*miR-101* та її антисенсовий аналог *miR-101_as*) показало вірогідне зниження рівня $A\beta_{42}$ лише у випадку *miR-101* вже з першої години дії, яке зберігалось до кінця дослідження (рис. 3, г). Цей результат є доказом вищенаведеної тези стосовно інгибування трансляції $A\beta PP$ відповідним різновидом мікроРНК, зокрема *miR-101*. Отримані дані свідчать про пролонгований і специфічний

характер пригнічення утворення ендogenous $A\beta_{42}$ завдяки зниженню синтезу *de novo* його попередника $A\beta PP$ у випадку дії *miR-101*.

Антизапальна дія ліпосомальної форми *miR-101* на моделі хвороби Альцгеймера *in vitro*. На рис. 4, а–в наведено результати експериментального дослідження динаміки концентрації цитокінів (IL-10, IL-6, TNF α) у мононуклеарній суспензії *in vitro* за умов впливу $A\beta_{40}$ агрегатів та терапії ліпосомними формами *miRNA*. Видно суттєве зниження рівня IL-10 на 12 год інкубації з токсичними агрегатами $A\beta_{40}$ і ліпосомальною формою *miR-101* на відміну від ефекту порожніх ліпосом, ліпосом з антисенсовою *miR-101* або 0,9 % NaCl (рис. 4, а). Це свідчить про опосередковану антизапальну

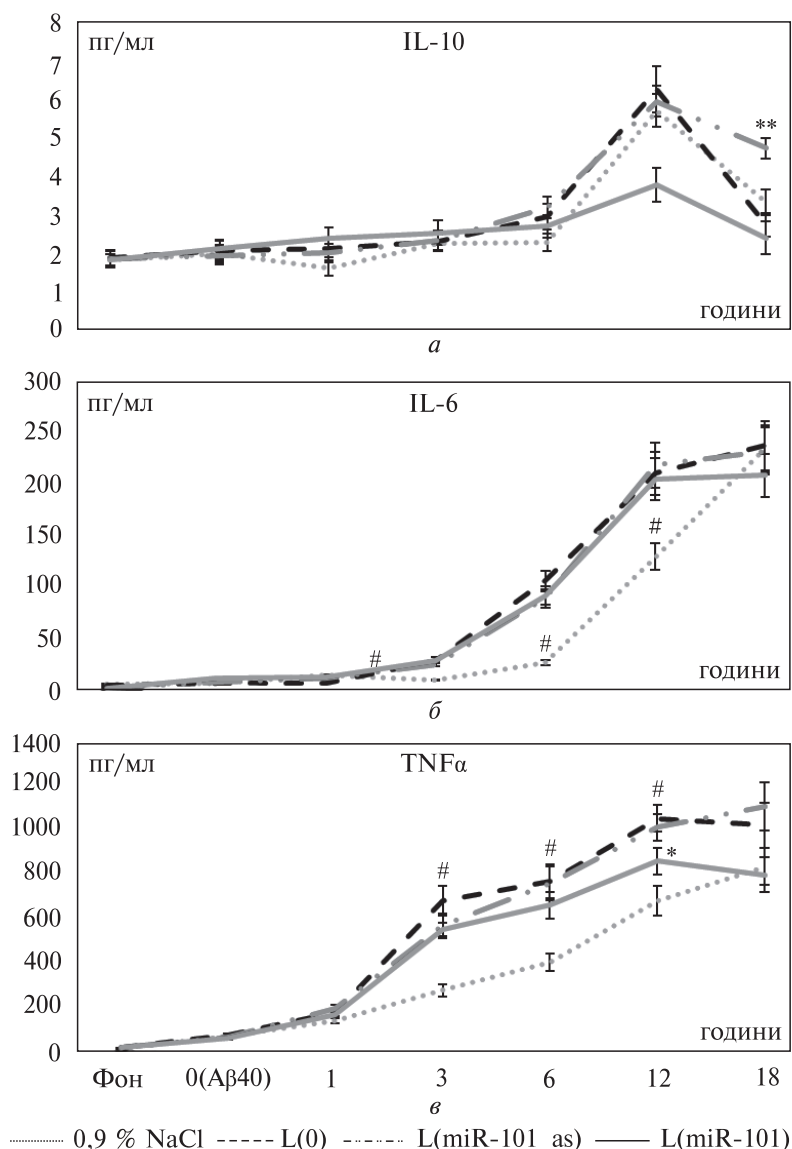


Рис. 4. Динаміки концентрації IL-10 (а), IL-6 (б), TNFα (в) у мононуклеарах за умов впливу Aβ40 та подальшої терапії ліпосомальними формами мікроРНК. Дані подаються як середнє значення ± SD (n = 3). * p < 0,05 у порівнянні з показниками для L(0); L(miR-101_{as}) та контролем (0,9 % NaCl) через відповідні проміжки часу; ** p < 0,05 у порівнянні з показниками L(0); L(miR-101) та контролем (0,9 % NaCl) через відповідні проміжки часу; # p < 0,05 у порівнянні з показниками лише контролю

дію miR-101 ймовірно за рахунок пригнічення утворення амілоїдогенного Aβ42 у клітинах та відповідно меншу активацію цитокінового каскаду запалення. Специфічного пригнічуючого впливу ліпосомальної форми miR-101, як і інших ліпосомальних форм препаратів, на рівень IL-6 в мононуклеарній суспензії виявлено не було. Натомість показано вигогідне збільшен-

ня концентрації цього інтерлейкіну другої хвили цитокінового каскаду в інтервалі 3–12 год інкубації з ліпосомами: L(0), L(miR-101_{as}) та L(miR-101) за порівняння з Контролем (рис. 4, б). Пригнічуючий вплив ліпосомальної форми miR-101 на прозапальний TNFα було зазначено на 12 год інкубації, як і у випадку протизапального інтерлейкіну-10 (рис. 4, в); на 3–6 та 18 год

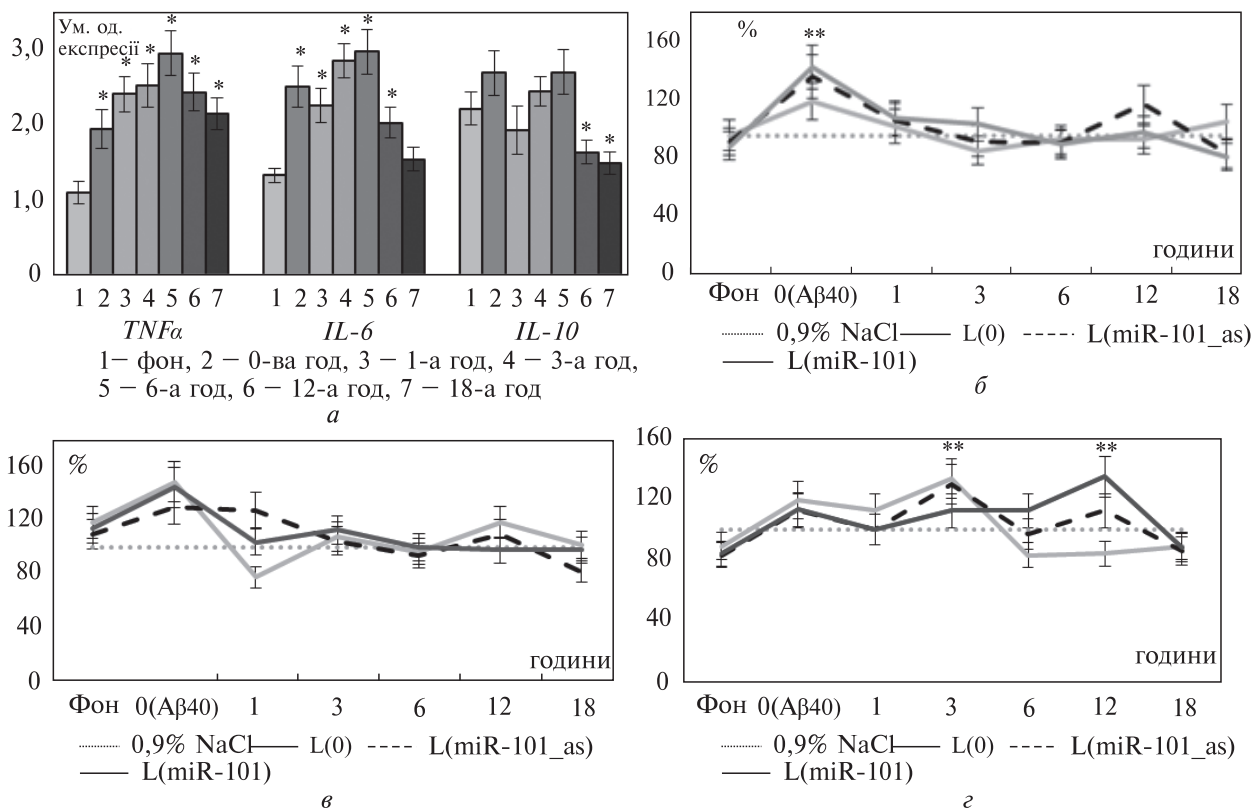


Рис. 5. Динаміка експресії генів цитокінів (*TNFα*, *IL-6*, *IL-10*) у мононуклеарах під впливом 0,9 % NaCl в умовних одиницях експресії (а); під впливом агрегатів Aβ40 та ліпосомальними формами miR-101 та miR-101_as у відсотках від інкубації з 0,9 % NaCl (прийнятим за 100 %) у кожен період часу для *TNFα* (б), *IL-6* (в), *IL-10* (г). Дані подаються як середнє значення ± SD (n = 3). * p < 0,05 порівняно з фоном; ** p < 0,05 у порівнянні зі 100 %

інкубації концентрація *TNFα* була вища контрольних показників та істотно не відрізнялась від відповідних показників інших ліпосомних форм. Таку досить відстрочену дію miR-101 на рівень цитокінів може пояснити опосередкований характер її впливу на цитокіновий каскад запалення у мононуклеарах через ендogenous посередника – сигнальні пептиди вродженого імунітету із сімейства β-амілоїдних пептидів.

Таким чином, специфічний антизапальний вплив (зменшення рівнів *TNFα* і *IL-10*) ліпосомальна форма miR-101 демонструє лише на 12 год інкубації на клітинній моделі хвороби Альцгеймера *in vitro*.

На відміну від сталої динаміки активації експресії гену *AβPP* у мононуклеарах в умовах мікродобавок фізіологічного розчину (рис. 3, в), експресія генів *TNFα* та *IL-6* за аналогічних умов зростала одразу і потужно (рис. 5, а).

Динаміка експресії гена *IL-10* не змінювалась, а в інтервалі часу 12–18 год, навіть вірогідно знижувалась.

Для оцінки специфічності впливу агрегатів Aβ40 та ліпосомальних форм miRNA виразили дані у відсотках від показників інкубації з 0,9 % NaCl (прийнятими за 100 %) у кожен проміжок часу (рис. 5, б–г). Динаміка експресії генів *TNFα* та *IL-6* показує відсутність впливу на транскрипцію відповідних *mPHK* ($mRNA^{TNFα}$ та $mRNA^{IL-6}$) досліджуваних ліпосомальних форм miRNA (miR-101 та miR-101_as) та пряму специфічну дію агрегатів Aβ40 (модель клітинної ХА) на ранній стадії. Динаміка експресії гена прозапального *IL-10* у мононуклеарах відрізнялась від вищенаведеної для генів прозапальних цитокінів *TNFα* та *IL-6* (рис. 5, б–г), а саме пік активації спостерігався пізніше (на 3-у год інкубації) та ліпосомальна форма miR-101 його

відстрочувала майже на 9 год (12 год інкубації на рис. 5, з). Такий неочікуваний ефект ліпосомальної форми miR-101 можна пояснити лише непрямим впливом: пригнічення утворення ендогенних β-амілоїдних пептидів цією miRNA. Отже, ліпосомальна форма miR-101, яка комплементарна до специфічних ділянок mRNA^{AβPP}, не впливала на експресію генів прозапальних цитокінів (*TNFα* та *IL-6*) та специфічно відстрочувала на 9 год пік активації експресії гену протизапального цитокіну *IL-10*.

Обговорення. Природними аналогами екзогенних ліпосом є ендогенні екзосоми (30–100 нм) і міковезикули (50–1000 нм), які переносять між клітинами широкий спектр біологічно активних молекул, включаючи мікроРНК (Losurdo, 2020). На сьогоднішній день, згідно збірника молекулярних даних (Vesiclepedia) 10 520 miRNA було виявлено в екзосомах, міковезикулах та апоптотичних тілах, що свідчить про високий ступінь складності у позаклітинній везикулярній комунікації. Отже, імітація ліпосомами з miR-101 цього сигнально-регуляторного механізму інформаційної міжклітинної взаємодії у нашому дослідженні показала ефективний і тривалий захист miRNA ліпідною мембраною і, як наслідок, оптимальну функціональність miR-101. Експресія більшості miRNA відбувається тканинно і часо специфічно (Fu, 2019). Однак період напіввиведення miRNA короткий через наявність нуклеаз (Czauderna, 2003). Більш того, через свою полярність miRNA важко проходять крізь двошарову фосfolіпідну мембрану клітини. Таким чином, за внутрішньовенного введення вільна miRNA не може швидко проникнути в ендотелій судин і утримується в органах зберігання крові (печінці та селезінці), і в кінцевому підсумку виводиться нирками. Для вирішення цієї проблеми було розроблено велику кількість векторів для доставки miRNA. У наших попередніх роботах ефективність ліпосомальної форми упаковки miR-101 та куркуміну була виявлена, за введення інтраназально курсами тваринам з моделлю хвороби Альцгеймера *in vivo* (Sokolik, 2017; Sokolik, 2019).

Деякі дослідники відзначають особливості експресії мікроРНК не тільки в цільових відділах головного мозку (Barak, 2013; Reddy, 2017; Amakiri, 2019), але і в мононуклеарних

клітинах крові (Schipper, 2007) за хвороби Альцгеймера. Зокрема, miR-101 пригнічує експресію *AβPP* у нейронах гіпокампа (Vilardo, 2010) та у культурі клітин людини (Chakrabarty, 2007). Наше дослідження мононуклеарних клітин крові також показало, що miR-101 є негативним регулятором експресії *AβPP*. Обговорюючи непряму протизапальну дію ліпосомальної форми miR-101 на цитокіни та їх гени (*TNFα*, *IL-6*, *IL-10*), крім непрямого впливу β-амілоїдних пептидів, слід зауважити, що miR-101 регулює пов'язаний із запаленням ген циклооксигенази-2 (*COX-2*) (Strillacci, 2009). Було показано, що *COX-2* активується в мозку за ХА, а також асоціюється з втратою нейронів. Ці результати свідчать, що miR-101 являє собою нову мішень для терапевтичної модуляції рівнів *AβPP*. Можливо, пряма доставка miR-101, або посилення регуляції її ендогенної експресії зменшать клітинний рівень *AβPP*. MiR-101 експресується з двох незалежних геномних локусів на хромосомах 1 та 9, які знаходяться в міжгенних областях. Елементи промотору, які регулюють транскрипцію miR-101, є невизначеними і тільки починають характеризуватися. Тому ліпосомна доставка екзогенної miR-101 на даний момент є найбільш перспективною.

Таким чином, результати дослідження дозволяють простежити в динаміці точну регуляцію цією мікроРНК експресії окремих генів (*AβPP*, *TNFα*, *IL-6*, *IL-10*) та зробити висновок, що ліпосомальна форма miR-101 ефективна для корекції амілоїдозу та запалення за хвороби Альцгеймера.

Дотримання етичних стандартів. Під час збору зразків крові для отримання мононуклеарної суспензії була отримана письмова інформована згода волонтерів (Протокол № 12-а, 12 грудня 2019 р. комісії з етики Інституту неврології, психіатрії та наркології у Харкові, Україна).

Конфлікт інтересів. Автори заявляють про відсутність конфлікту інтересів.

Фінансування. Це дослідження не отримувало будь-якого конкретного гранту від фінансуючих установ в державному, комерційному або некомерційному секторах.

DIRECT AND AN INDIRECT EFFECT OF LIPOSOMAL MIR-101 ON CELLULAR MODEL OF ALZHEIMER'S DISEASE

V.V. Sokolik, O.G. Berchenko,
O.K. Kolyada, S.M. Shulga

SI «Institute of Neurology, Psychiatry and Narcology of National Academy of Medical Sciences of Ukraine», 46, Akademika Pavlova str., Kharkiv, Ukraine, 61000
SI «D.F. Chebotaryov Institute of Gerontology of National Academy of Medical Sciences of Ukraine», 67, Vyshgorodskaya str., Kyiv, Ukraine, 04114
SI «Institute of Food Biotechnology and Genomics of National Academy of Sciences of Ukraine», 2a, Osypovskoho str., Kyiv, Ukraine, 04123

E-mail: Shulga5@i.ua, v.sokolik67@gmail.com,
berchenko.olga@ukr.net, alex.genetic@gmail.com

At present, brain diseases are an unsolved problem of the 21st century. Alzheimer's disease was first discovered 100 years ago, and during this time not a single patient with this diagnosis has been cured. Therefore, the search for new treatment strategies using regulatory agents such as specific miRNAs is urgent. The aim was to determine the effect of liposomal miR-101 on amyloid- β protein 42 (A β 42) levels and the cytokine system in a cellular model of Alzheimer's disease. The work included PCR, ELISA and fluorescent methods. Using FAM, it was found that liposomal miR-101 accumulates in blood mononuclear cells pretreated with A β 40 aggregates and functions for 2–3 hours, rather than being instantly destroyed by nucleases. Exogenous miR-101 did not affect A β PP gene transcription and decreased the formation of endogenous A β 42. An indirect anti-inflammatory effect of liposomal miR-101 was established after 12 hours of incubation with mononuclear cells: a decrease in intracellular levels of TNF α and IL-10. However, miRNA-101 did not affect the expression of TNF α and IL-6 and delayed the peak of activation of IL-10 expression by 9 hours. Thus, liposomal miR-101 showed a direct anti-amyloidogenic effect and an indirect anti-inflammatory effect in a cellular model of Alzheimer's disease.

СПИСОК ЛІТЕРАТУРИ

Agostini M, Tucci P, Killick R et al. (2011) Neuronal differentiation by TAp73 is mediated by microRNA-34a regulation of synaptic protein targets. *Proc Natl Acad Sci USA*. doi: 10.1073/pnas.1112061109
Amakiri N, Kubosumi A, Tran J et al. (2019) Amyloid beta and MicroRNAs in Alzheimer's disease. *Front Neurosci*. doi: 10.3389/fnins.2019.00430
Arancibia S, Silhol M, Mouliere F et al. (2008) Protective effect of BDNF against beta-amyloid induced neurotoxicity in vitro and in vivo in rats. *Neurobiol Dis*. doi: 10.1016/j.nbd.2008.05.012
Barak B, Shvarts-Serebro I, Modai S et al. (2013) Opposing actions of environmental enrichment and Alzheimer's disease on the expression of hippocampal

microRNAs in mouse models. *Transl. Psychiatry*. doi: 10.1038/tp.2013.77
Bertram L, McQueen MB, Mullin K et al. (2007) Systematic meta-analyses of Alzheimer disease genetic association studies: The alzgene database. *Nat Genet*. doi: https://doi.org/10.1038/ng1934
Boissonneault V, Plante I, Rivest S et al. (2009) MicroRNA-298 and microRNA-328 regulate expression of mouse beta-amyloid precursor protein-converting enzyme 1. *J Biol Chem*. doi: 10.1074/jbc.M807530200.
Brouwers N, Sleegers K, Engelborghs S et al. (2006) Genetic risk and transcriptional variability of amyloid precursor protein in Alzheimer's disease. *Brain*. doi: https://doi.org/10.1093/brain/awl212
Chakrabarty A, Tranguch S, Daikoku T et al. (2007) MicroRNA regulation of cyclooxygenase-2 during embryo implantation. *Proc Natl Acad Sci USA*. doi: 10.1073/pnas.0705917104
Czauderna F, Fechtner M, Dames S et al. (2003) Structural variations and stabilising modifications of synthetic siRNAs in mammalian cells. *Nucleic Acids Res*. doi: https://doi.org/10.1093/nar/gkg393
Delay C, Mandemakers W, Hebert SS. (2012) MicroRNAs in Alzheimer's disease. *Neurobiol Dis*. doi: 10.1016/j.nbd.2012.01.003.
Fenske DB, Chonn A, Cullis PR. (2008) Liposomal nanomedicines: an emerging field. *Toxicol Pathol*. doi: 10.1177/0192623307310960
Fillit H, Ding WH, Buee L et al. (1991) Elevated circulating tumor necrosis factor levels in Alzheimer's disease. *Neurosci Lett*. doi: 10.1016/0304-3940(91)90490-K.
Frezza RL, Lourenco MV, De Felice FG. (2018) Challenges for Alzheimer's disease therapy: insights from novel mechanisms beyond memory defects. *Front Neurosci*. doi: 10.3389/fnins.2018.00037
Fu Y, Chen J, Huang Z. (2019) Recent progress in microRNA-based delivery systems for the treatment of human disease. *ExRNA*. doi: https://doi.org/10.1186/s41544-019-0024-y
Griffin WS, Nicoll JA, Grimaldi LM et al. (2000) The pervasiveness of interleukin-1 in Alzheimer pathogenesis: A role for specific polymorphisms in disease risk. *Exp Gerontol*. doi: https://doi.org/10.1016/S0531-5565(00)00110-8
Hébert SS, Horr  K, Nicolai L et al. (2008) Loss of microRNA cluster miR-29a/b-1 in sporadic Alzheimer's disease correlates with increased BACE1/beta-secretase expression. *Proc Natl Acad Sci USA*. doi: https://doi.org/10.1073/pnas.0710263105
H bert SS, Horr  K, Nicolai L et al. (2009) MicroRNA regulation of Alzheimer's Amyloid precursor protein expression. *Neurobiol Dis*. doi: 10.1016/j.nbd.2008.11.009
Kou X, Chen D, Chen N. (2020) The regulation of microRNAs in Alzheimer's disease. *Front Neurol*. doi: 10.3389/fneur.2020.00288

- Lee K, Kim H, An K et al. (2016) Replenishment of microRNA-188-5p restores the synaptic and cognitive deficits in 5XFAD mouse model of Alzheimer's disease. *Sci Rep*. doi: 10.1038/srep34433
- Lin Q, Chen J, Zhang Zh et al. (2008) Lipid-based nanoparticles in the systemic delivery of siRNA. *Nanomedicine*. doi: <https://doi.org/10.2217/nnm.13.192>
- Long JM, Lahiri DK. (2011) MicroRNA-101 down-regulates Alzheimer's amyloid-beta precursor protein levels in human cell cultures and is differentially expressed. *Biochem Biophys Res Commun*. doi: 10.1016/j.bbrc.2010.12.053
- Losurdo M, Grilli M. (2020) Extracellular vesicles, influential players of intercellular communication within adult neurogenic niches. *Int J Mol Sci* doi: <https://doi.org/10.3390/ijms21228819>
- Lukiw WJ. (2007) Micro-RNA speciation in fetal, adult and Alzheimer's disease hippocampus. *Neuroreport*. doi: 10.1097/WNR.0b013e3280148e8b
- Lukiw WJ, Alexandrov PN. (2012) Regulation of complement factor H (CFH) by multiple miRNAs in Alzheimer's disease (AD) brain. *Mol Neurobiol*. doi: 10.1007/s12035-012-8234-4
- Ma T, Sun X, Sun S et al. (2016) The study of peripheral blood miR-29a/101 in the diagnosis of Alzheimer's disease. *Chin J Behav Med Brain Sci*. doi: 10.3760/cma.j.issn.1674-6554.2016.11.011..
- Patel N, Hoang D, Miller N et al. (2008) MicroRNAs can regulate human APP levels. *Mol Neurodegeneration*. doi: 10.1186/1750-1326-3-10
- Pillai RS. (2005) MicroRNA function: Multiple mechanisms for a tiny RNA? *RNA*. doi:10.1261/rna.2248605
- Rajagopalan LE, Westmark CJ, Jarzembowski JA et al. (1998) HnRNP C increases amyloid precursor protein (APP) production by stabilizing APP mRNA. *Nucleic Acids Res*. doi: <https://doi.org/10.1093/nar/26.14.3418>
- Rajagopalan LE, Malter JS. (2000) Growth factor-mediated stabilization of amyloid precursor protein mRNA is mediated by a conserved 29-nucleotide sequence in the 3'-untranslated region. *J Neurochem*. doi: <https://doi.org/10.1046/j.1471-4159.2000.0740052.x>
- Ramser EM, Gan KJ, Decker H et al. (2013) Amyloid- β oligomers induce tau-independent disruption of BDNF axonal transport via calcineurin activation in cultured hippocampal neurons. *Mol Biol Cell*. doi: 10.1091/mbc.e12-12-0858
- Reddy PH, Tonk S, Kumar S et al. (2017) A critical evaluation of neuroprotective and neurodegenerative MicroRNAs in Alzheimer's disease. *Biochem Biophys Res Commun*. doi: 10.1016/j.bbrc.2016.08.067
- Redis RS, Calin S, Yang Y et al. (2012) Cell-to-cell miRNA transfer: from body homeostasis to therapy. *Pharmacol Ther*. doi: 10.1016/j.pharmthera.2012.08.003
- Rodriguez-Ortiz CJ, Baglietto-Vargas D, Martinez-Coria H et al. (2014) Upregulation of miR-181 decreases c-Fos and SIRT-1 in the hippocampus of 3xTg-AD mice. *J Alzheimers Dis*. doi: 10.3233/JAD-140204
- Rogers JT, Leiter LM, McPhee J et al. (1999) Translation of the alzheimer amyloid precursor protein mRNA is up-regulated by interleukin-1 through 5'-untranslated region sequences. *J Biol Chem*. doi: 10.1074/jbc.274.10.6421
- Rumble B, Retallack R, Hilbich C et al. (1989) Amyloid a4 protein and its precursor in Down's syndrome and Alzheimer's disease. *N Engl J Med*. doi: 10.1056/NEJM198906013202203
- Schipper HM, Maes OC, Chertkow HM et al. (2007) MicroRNA expression in Alzheimer blood mononuclear cells. *Gene Regulation and Systems Biology*. doi: <https://doi.org/10.4137/GRSB.S361>
- Slegers K, Brouwers N, Gijssels I et al. (2006) APP duplication is sufficient to cause early onset alzheimer's dementia with cerebral amyloid angiopathy. *Brain*. doi: <https://doi.org/10.1093/brain/awl203>
- Sokolik VV, Berchenko OG, Shulga SM. (2017) Comparative analysis of nasal therapy of curcumin soluble and liposomal forms of rats with model of Alzheimer's disease. *J Alzheimer's Dis. Parkinsonism*. doi: 1000357. 10.4172/2161-0460.1000357
- Sokolik VV, Berchenko OG, Levicheva NO et al. (2008) Anti-amyloidogenic effect of MiR-101 in experimental Alzheimer's disease. *Biotechnologia Acta*. doi: <https://doi.org/10.15407/biotech12.03.041>
- Song J, Lee JE. (2015) MiR-155 is involved in Alzheimer's disease by regulating T lymphocyte function. *Front Aging Neurosci*. doi: 10.3389/fnagi.2015.00061
- Strauss S, Bauer J, Ganter U et al. (1992) Detection of interleukin-6 and alpha 2-macroglobulin immunoreactivity in cortex and hippocampus of Alzheimer's disease patients. *Lab Invest*. 66:223-230
- Strillacci A, Griffoni C, Sansone P et al. (2009) MiR-101 downregulation is involved in cyclooxygenase-2 overexpression in human colon cancer cells. *Exp. Cell. Res*. doi: 10.1016/j.yexcr.2008.12.010
- Vilardo E, Barbato C, Ciotti M et al. (2010) MicroRNA-101 regulates amyloid precursor protein expression in hippocampal neurons. *J Biol Chem*. doi: 10.1074/jbc.M110.112664
- Yingchoncharoen Ph, Kalinowski DS, Richardson DR. (2016) Lipid-based drug delivery systems in cancer therapy: What is available and what is yet to come. *Pharmacological Reviews*. doi: <https://doi.org/10.1124/pr.115.012070>
- Zhang J, Hu M, Teng Z et al. (2014) Synaptic and cognitive improvements by inhibition of 2-AG metabolism are through upregulation of microRNA-188-3p in a mouse model of Alzheimer's disease. *J Neurosci*. doi: 10.1523/JNEUROSCI.1165-14.2014

Надійшла в редакцію 13.07.21
Після доопрацювання 04.08.21
Прийнята до друку 18.11.21